

## تأثیر محیط کشت روی سلولهای آستروسیت و رتینوئیک اسید بر تمایز عصبی سلولهای بنیادی جنینی موش

رضا مقدس علی.<sup>\*</sup>، بهمن زینلی.<sup>\*\*</sup> Ph.D.<sup>\*</sup>، مسعود سلیمانی.<sup>\*\*</sup> Ph.D.<sup>\*</sup>، حسین بهاروند.<sup>◎</sup> M.Sc.

\* دانشکده زیست‌شناسی، پردیس علوم، دانشگاه تهران

\*\* پژوهشکده رویان، گروه سلولهای بنیادی

تاریخ وصول: مهرماه ۸۴، تاریخ پذیرش: آذرماه ۸۴

### چکیده

**هدف:** ارزیابی خاصیت فاکتورهای مترشحه از سلولهای آستروسیت در محیط کشت سوسپانسیون در جهت دهی تمایز سلولهای بنیادی جنینی موش به سلولهای عصبی

**مواد و روشها:** در این مطالعه از سلولهای بنیادی جنینی (ES: Embryonic Stem Cell) موش رویان B1 استفاده شد. برای تمایز سلولهای ES به سلولهای عصبی از (ACM: Astrocyte-conditioned-medium) استفاده شد. نحوه تمایز سلولهای ES به سلولهای عصبی براساس تشکیل اجسام شبه جنینی (Embryoid bodies: EBs) بود. این EBs در ۷ گروه با رتینوئیک اسید (RA: Retinoic Acid)، فاکتور رشد فیبروبلاستی بازی (bFGF: basic Fibroblast Growth Factor) و محیط کشت آستروسیتی (ACM: Astrocyte- Conditioned Medium) تحت شرایط سوسپانسیون تیمار شدند. سپس تمایز این EBs روی پلی-L-لیزین پیش برد شد. با استفاده از روشهای ایمونوستوچیمی و RT-PCR تجلی نشانگرهای عصبی و قلبی سلولهای تمایز یافته از سلولهای ES بررسی شد.

**یافته‌ها:** در این تجربه EBs به مدت ۵ روز (2+4+5d) به انواع سلولهای عصبی از جمله نورونها و آستروسیتها و سلولهای قلبی تمایز یافتند. آنالیز آماری درصد EBs تمایز یافته نشان داد که تحت تأثیر ACM سلولهای ES به سلولهای عصبی تمایز نمی‌یابند و تنها از تمایز قلبی آنها کاسته می‌شود. در حالی که تحت تأثیر RA بیش از ۵۰ درصد از سلولهای ES با تمایز عصبی بالای ۴۰ درصد تمایز پیدا کردن و سلولهای ES تحت تأثیر bFGF به سلولهای قلبی تمایز یافتند.

**نتیجه‌گیری:** نتایج این مطالعه نشان داد ACM احتمالاً در جهت دهی تمایز سلولهای عصبی نقشی ندارد و تنها از تمایز قلبی آنها می‌کاهد. و RA به عنوان یک القاء کننده قوی باعث تمایز سلولهای ES به سلولهای عصبی می‌شود.

**کلید واژه‌ها:** سلولهای بنیادی جنینی موش، اجسام شبه جنینی، محیط کشت رویی آستروسیتها، رتینوئیک اسید، فاکتور رشد فیبروبلاستی بازی

## مقدمه

Nervous System) تأثیر می‌گذارند [۹-۱۱]. شواهد زیادی هم در *in vivo* و هم در *in vitro* ثابت می‌کنند که آستروسیتها یک ماده مقدماتی را برای مرحله رشد فراهم می‌کنند [۱۲-۱۴]. تجربیات کشت بافت نیز ثابت می‌کنند که امکان دارد آستروسیتها یک نقش هدایتی در تمایز عصبی بازی کنند. برهمکنشهای نورون آستروسیت می‌تواند بهوسیله انواع زیادی از فاکتورها شامل فاکتورهای تروفیک محلول، مولکولهای وابسته به غشاء‌های سلولی مانند مولکول‌های چسبندگی سلولی، اجزای ماتریکس خارج سلولی، پارامترهای فیزیکی مانند چسبندگی و سیستمهای پیام‌رسان ثانویه وساطت شود. انواع این فاکتورها که هم شامل فاکتورهای تروفیک انتشاری و هم فاکتورهایی که نیازمند اتصال سلول-سلول می‌شود، به عنوان تنظیم کننده‌های مهم رشد اکسون شناخته شده‌اند [۱۵-۱۷].

بیشتر گزارش‌های اخیر ثابت می‌کنند که آستروسیتها نورون‌زایی را هم بهوسیله سلولهای بنیادی عصبی بزرگ‌سالان و هم بهوسیله سلولهای بنیادی جنینی در محیط ازمايشگاهی القاء می‌کنند [۱۸ و ۱۹]. این اطلاعات پیشنهاد می‌کنند که آستروسیتها فاکتور یا فاکتورهای انتشاری را سنتز و آزاد می-کنند که حداقل تا اندازه‌ای از رشد هم اکسون و هم دندربیت حمایت می‌کنند. اگر چه که این مشاهدات تأیید می‌کنند که آستروگلیالها دارای پتانسیل هدایت سلولهای بنیادی غیرمعهد برای تمایز به یک سرنوشت عصبی هستند اما درباره فاکتورهای مسئول برای چنین اثر هدایتی اطلاعات زیادی در دست نیست.

بنابراین تمایز سلولهای بنیادی جنینی در محیط آزمایشگاهی (*in vitro*) به طرف سلولهای عصبی استفاده از سلولهای گلیال بهویژه آستروسیتها به عنوان سلولهای پشتیبان سیستم عصبی مرکزی است. سلولهای گلیال در میان اجزای اصلی میلیونها سلول اطراف سلولهای بنیادی عصبی هستند که هم در تکوین و هم بلوغ مغز شرکت دارند [۸]. بهویژه آستروسیتها که سلولهایی با منشاء عصبی هستند یکسری فاکتورهای محلول و فاکتورهایی در ارتباط با غشاء تولید می‌کنند که روی انواع زیادی از پدیده‌ها و عملکرد سیستم عصبی مرکزی (CNS: Central

تکوین سیستم عصبی در پستانداران توسط عوامل اپی ژنتیکی و پیامهای سلولی اندوزن طی جنین‌زایی و بعد از آن انجام می‌شود. تبیین دقیق این پیامها طی جنین‌زایی مشکل است. از این رو شناخت مکانیسمهای تنظیم کننده این مراحل هدف بسیاری از مطالعات زیست‌شناسی تکوینی است. از سوی دیگر، تولید برنامه‌ریزی شده فراوان سلول تمایز یافته، برای به‌کارگیری در طب پیوند، مورد توجه دانشمندان است. در این ارتباط، سلولهای بنیادی جنینی (ES) مشتق از توده سلولی داخلی (ICM) بلاستوسیست می‌توانند به صورت سلولهای بنیادی پرتوان (pluripotent) در محیط کشت حفظ شده و با قابلیت تمایز زیاد، طیف وسیعی از انواع سلولهای تمایز یافته، شامل نورونها را ایجاد کنند [۱ و ۲]. بیشتر مطالعات روی تمایز سلولهای بنیادی جنینی (ES) به سلولهای عصبی در محیط *in vitro* همراه با کشت سوسپانسیون اجسام شبه جنینی (EBs) و به صورت شناور در محیط حاوی سرم انجام شده است [۳ و ۴]. در واقع اجسام شبه جنینی ساختارهایی مشکل از سلولهای ES هستند که تمایز ابتدایی در آنها رخ داده است. به‌طوری‌که سلولهای آن، ژنهای سه لایه زاینده جنینی را بیان می‌کنند و در واقع با تقلید از همان مراحل ابتدایی جنینی القای لازم صورت می‌گیرد. به‌دبیال آن تمایز سلولهای بنیادی جنینی به سلولهای عصبی با روش‌های متفاوتی همچون تیمار اجسام شبه جنینی بارتینوئیک اسید [۱، ۵ و ۶]، انتخاب دودمان سلولهای *in vitro* عصبی به‌واسطه فاکتورهای رشد [۲] یا تقلید از شرایط در محیط آزمایشگاهی [۷] انجام می‌گیرد.

یکی از روش‌های جهت‌دهی تمایز سلولهای بنیادی جنینی به طرف سلولهای عصبی استفاده از سلولهای گلیال بهویژه آستروسیتها به عنوان سلولهای پشتیبان سیستم عصبی مرکزی است. سلولهای گلیال در میان اجزای اصلی میلیونها سلول اطراف سلولهای بنیادی عصبی هستند که هم در تکوین و هم بلوغ مغز شرکت دارند [۸]. بهویژه آستروسیتها که سلولهایی با منشاء عصبی هستند یکسری فاکتورهای محلول و فاکتورهایی در ارتباط با غشاء تولید می‌کنند که روی انواع زیادی از پدیده‌ها و عملکرد سیستم عصبی مرکزی

تریپسینه کردن استفاده شد و به دلیل مقاومت کم این سلولها به تریپسین- EDTA در مدت ۲ الی ۳ دقیقه از کف فلاسک جدا شده و به محیط کشت جدید منتقل (passage) شدند. از طرف دیگر برای جدا شدن آستروسیتها از نورونها از اختلاف چسبندگی سلولها به کف فلاسک استفاده شد، بدین صورت که آستروسیتها به سرعت به کف فلاسک می‌چسبند (حدود ۴hr) در صورتی که نورونها در محیطی که با پلی-L-لیزین مفروش نشده است، اتصال بالایی ندارند و دیر می‌چسبند. بنابراین بعد از حدود ۸ ساعت محیط کشت تعویض شد و بدین صورت کشت آستروسیتها خالص شد. برای شناسایی آستروسیتها با استفاده از آنتی بادی اختصاصی آستروسیتها یعنی آستروسیتها با استفاده از آنتی بادی اختصاصی GFAP: Glial Fibrillary Acidic Protein شدند (شکل ۲). زمانی که تراکم<sup>۱</sup> سلولی آستروسیتها به حدود ۷۰ الی ۸۰ درصد رسید از محیط رویی آن<sup>۲</sup> به عنوان یک محیط القاء‌کننده عصبی استفاده شد. برای تهیه محیط رویی سلولهای آستروسیتی، محیط حاوی DMEM/F12/N12/1-glu به مدت ۱۲ الی ۲۴ ساعت روی سلولهای آستروسیتی قرار داده شد و از آن به عنوان ACM (Astrocyte-Conditioned Medium) استفاده شد. برای تهیه ACM رتینوئیک اسیدی ACM.RA به همراه محیط DMEM/F12/N2/1-glu رتینوئیک اسید (RA) با غلظت M<sup>-6</sup> نیز به محیط کشت آستروسیتها اضافه شد.

### روش تمايز

نحوه تمايز سلولهای بنیادی جنینی موش به سلولهای عصبی براساس تشکیل اجسام شبه جنینی انجام شد. در حالت تمايز نیافته سلولهای مزبور، کلونیهای متراکمی را بر سلولهای تغذیه کننده ایجاد می‌کنند. در حالت سوسپانسیون، این سلولها به مدت ۲ روز تشکیل اجسام شبه جنینی (EB) را می‌دهند (2d). سپس اجسام شبه جنینی به مدت چهار روز در ظرف باکتریایی به صورت سوسپانسیون کشت داده شدند (2+4d) و در ۷ گروه تحت تیمار فاکتورهای القاء‌کننده مختلف و محیط‌های کشت مجزا قرار گرفتند (گروههای زیر). از فاکتورهای رشد فیبروبلاستی بازی (bFGF) (20ng/ml) و رتینوئیک اسید

### مواد و وسایل

#### مواد و محیط‌های کشت

مواد شیمیایی و محیط‌های کشت به کار گرفته شده در این مطالعه به شرح زیر است:

Knock-out DMEM (ko-DMEM) (GIBCO, 10829-018), Leukemia inhibitory factor (LIF) (chemicon, ESG, 1107), Es-qualified serum (GIBCO, 16141-079), L-Glutamin (1-glu) (GIBCO, 25030-024), Nonessential amino acids (NEAA) (GIBCO, 11140-35), β-Mercaptoethanol (βME) (sigma, M7522), penicillin/ streptomycin (pen/ strep) (GIBCO, 15070-063), DMEM /F12 (GIBCO, 21331-020), N2 (GIBCO, 17502-048), Fetal Bovine serum (FBS) (GIBCO, 16141-079), bFGF (sigma, F0291), heparin (Manufactured- by: I.P.D.I.C.RASHT-IRAN), Retinoid Acid (RA) (sigma, R2625), poly-L-lysine (sigma, P4832), Trypsin- EDTA (GIBCO, 25300-054), Hank's balanced salt solution (HBSS) (GIBCO, 14185-045), β-tubulin III (sigma, T5293), Glial Fibrillary acidic protein (GFAP) (chemicon, MAB3402), Fluorescein isothiocyanate (FITC) (Jackson Immuno research Laboratories, 715-095-150), Agarose gel (cinnaGen, MR7730), (Griener; 648-102, 60mm, Bacterial dish Falcon, Germany), Tissue culture plate (Falcon; 353004)

#### کشت سلولهای بنیادی جنینی موش

در این مطالعه از سلولهای بنیادی جنینی موش (mES) رویان B1 استفاده شد [۲۰]. این سلولها دارای مورفوژی ES کاریوتیپ طبیعی، جنسیت نر و الکالین فسفاتاز مثبت بودند و ژن Oct-4 (نشانگر pluripotency) را بیان می‌کردند. سلولهای مزبور بر سلولهای فیبروبلاستی جنینی موش و در محیط کشت Ko-DMEM همراه با افزودنیهای زیر که به عنوان محیط کشت گفته می‌شود کشت می‌شوند:

LIF 1000 U, Es- qualified serum, L-glu 2Mm, NEAA 0.1Mm, βME 0.1 Mm, pen/strep (100 u/ml pen, 100 mg/ml strep).

#### کشت سلولهای آستروسیتی هیپوکمپ موش

مغز موش از جنین‌های موش سوری روز ۱۸ یا ۱۹ جنینی در محلول HBSS: Hank's Balanced Salt Solution جدا شدند. سپس ناحیه هیپوکمپ مغز جنینهای موش زیر یک میکروسکوپ کالبد شکافی شناسایی شده و در محیط کشت DMEM/F12: Dulbecco's Modified Eagle's Medium F12 حاوی N2 و L-glu کشت شدند. برای خالص کردن سلولهای آستروسیتی از الیگو‌دندروسیتها در محیط کشت از روش

1. confluence

2. condition medium

شمارش قرار شدند. سلولهای عصبی تولید شده از سلولهای رویان B1 مشخصات نورونها را داشتند به طوری که از نظر مورفولوژیکی دارای اکسون و دندریت بودند.

### آنتیبادی‌ها و ایمونوفلورسنس

پنج روز پس از کشت نهایی ( $2+4+5d$ ) سلولهای کشت شده در پلیت‌های کشت ابتدا دو بار با PBS شستشو شدند و بعد با محلول پارافرمالدئید ۴درصد در دمای  $4^{\circ}\text{C}$  سانتی‌گراد درون یخچال ثبیت شدند. سپس سلولها دوبار با  $0.05\%$  Tween $20$  + Triton x -۱۰۰  $0.2\%$  PBS شستشو داده شده و با محلول  $0.05\%$  Tween $20$  PBS + محلول دوبار با محلول  $0.05\%$  Tween $20$  نفوذپذیر شده و مجدداً دوبار با محلول شسته شدند (هر بار به مدت ۵ دقیقه). سپس سلولها با سرم  $10^{\circ}\text{C}$  درصد بز پوشانده شدند ( $30^{\circ}\text{C}$  دقیقه). آنتی‌بادی‌های اولیه ( $\beta$ -توبولین III) با غلظت  $1/50$  با غلظت  $1/250$  در مدت ۶۰ دقیقه در دمای  $37^{\circ}\text{C}$  سانتی‌گراد جداگانه به مجموعه‌های سلولی متفاوت اضافه شد. سپس سلولها دوبار با PBS+Tween شستشو شده (هر بار  $10^{\circ}\text{C}$  دقیقه) و به دنبال آن آنتی‌بادی ثانویه نشاندار با FITC اضافه شد و به مدت ۶۰ دقیقه در دمای  $37^{\circ}\text{C}$  سانتی‌گراد انکوبه شدند. در پایان سلولها دوبار با PBS+Tween شستشو و با میکروسکوپ فلورسنس (Nikon/TE2000) یا شیشه‌ای (Olympus, Bx51) ارزیابی شدند.

### تجلي ژنهای خاص عصبی با RT-PCR

از روش نسخه‌برداری معکوس واکنش زنجیره‌ای پلی‌مراز-PCR (RT-PCR) برای ارزیابی تجلی رونوشت‌های (transcripts) خاص عصبی استفاده شد. RNA Total (Total RNA) با استفاده از کیت Nucleospin RNA II از سلولهای بنیادی جنینی (ES)، اجسام شبه جنینی (EB) ( $2d$ )، اجسام شبه جنینی ( $2+4d$ ) و دسته‌های سلولی منشاء گرفته از کلینی‌های پلیت شده ( $2+4+5d$ ) استخراج شدند. با استفاده از پرایمر هگرامر تصادفی و آنزیم ریورس ترانسکریپتاز cDNA(k1632, Fermentas) ساخته شد. سپس PCR با استفاده از کیت Smart tag kit (cinnagen, IRAN) همراه با پرایمرهایی که در جدول ۲ آمده است انجام شد. محصولات

(M $^{-7}$ ) به عنوان فاکتورهای القاء‌کننده تمایز اکتوذرمی و عصبی استفاده شد [۱، ۲، ۵ و ۶]. همچنین در جریان تیمار اجسام شبه جنینی با فاکتور رشد فیبروبلاستی بازی، هپارین به فعال شدن رسپتورهای FGF کمک می‌کند. در فاصله چهار روز تیمار هر دو روز یکبار محیط با کاهش سرم تعویض شد. در نهایت در روز  $2+4d$  این اجسام در پلیت‌های کشت سلولی  $60\text{ mm}$  مفروش شده با پلی-L-لیزین کشت شدند. برای ارزیابی نتایج حاصل از تمایز سلولهای بنیادی جنینی، به اجسام شبه جنینی حدود ۴ الی ۵ روز فرستاده شد تا کاملاً در محیط کشت پهن شده و سلولهای آنها مهاجرت کنند ( $2+4+5d$ ). در مرحله تشکیل اجسام شبه جنینی (EBs) برای جلوگیری از هر گونه القای EBs توسط فاکتورهای مختلف از محیط Ko-DMEM استفاده شد. و در جریان مرحله القای اجسام شبه جنینی بتدریج از محیط Ko-DMEM به محیط DMEM/F12/N2 متقل شدند و در نهایت در این محیط پلیت شدند. همچنین برای مهار تمایز مزودرمی و قلبی اجسام شبه جنینی و تولید بیشتر سلولهای اکتوذرمی و عصبی در مراحل القاء و کشت میزان سرم به تدریج از حدود ۱۵ درصد به ۵ درصد کاهش داده شد.

تیمار	گروه
FBS+bFGF 20ng/ml+Heparin+ACM	1
FBS+bFGF 20ng/ml+Heparin	2
FBS+RA $10^{-6}\text{ M}$ +ACM	3
FBS+RA $10^{-6}\text{ M}$	4
FBS+ bFGF 20ng/ml+ACM	5
FBS+RA.ACm	6
FBS	7

### مطالعات مورفولوژیکی

برای آنالیز آماری درصد EB‌های تمایز یافته به سلولهای عصبی و قلبی، کلونیهای تمایز یافته قلبی (تپش‌دار) و عصبی با درصد تمایز عصبی بالای  $40\%$  درصد در ۷ گروه با کمک میکروسکوپ فاز کتراست مغناطیس (Nikon, Ts100) در روز  $2+4+5d$  انجام شد.

در ۷ گروه تحت تأثیر فاکتورهای القاء کننده مختلف تیمار شدند (2+4d). به دنبال کشت EB ها در پلیتیهای کشت سلولی، EB به کف ظرف چسبیده و سلولها شروع به مهاجرت از آن کردند (2+4+5d). معمولاً ضربان در گروههایی که به

PCR روی ژل آگارز ۱/۵ درصد جدا شده و همراه با اتیدیوم بروماید رنگ آمیزی شد.

شدت فلورسنس باند همراه با ترانس لومینوتور (uvidoc, uk) ارزیابی و مشاهده شد.

جدول ۲. پرایمرهای مورد استفاده در PCR

Genes	Primer sequences (5'-3')	Size (bp)	Annealing Tempreature	Refrences
Nestin	F:TCGAGCAGGAAGTGGTAGG R:TTGGGACCAAGGGACTGTT A	351	53/5	19
Pax-6	F:GAAATCCGAGACAGATTATTATCCGAG R:CCATTGGCCCTCGATTAGA	494	59/2	19
NF-M	F:GCACACTTGGAACAAACAGAAC R:CGTGCAGGCCCTGCTT	74	62	31
Nurr1	F:AGAGGGTGGGCAGAGAAG AT R:GGTAGTTGGTCGGTCAA	402	59/5	19
Brachyury	F:AGTATGAACCTCGGATTCACATCG R:GCAGATGAATTGTCCGCATAGG	432	63	19
GATA4	F:CTCTATCACAAAGATGAACGGCA R:CTGCTGTGCCCATAGTGAGA	413	59/5	19
Cytokeratin-17	F:AGAGGGTGGGCAGAGAAGAT R:GGTAGTTGGTCGGTCAA	367	59/8	19
Oct-4	F:GGCGTTCTTTGGAAAGGTGTC R:CTGAACCACATCCCTCT	317	71	20
β-tubulin	F:GGAACATAGCCGTAAACTGC R:TCACTGTGCCTGAACCTACC	317	63	32

کاردیوپیوستیها تمایز پیدا کرده بودند در روز 2+4+1d شروع شد و گروههایی که به سلولهای عصبی تمایز پیدا کرده بودند در روز 2+4+2d کاملاً قابل مشاهده بودند. برای آنالیز آماری درصد EB های تمایز یافته به سلولهای قلبی و عصبی در ۷ گروه تحت تأثیر فاکتورهای القاء کننده مختلف محیط کشت روبی آستروروستیها (ACM)، رتینوئیک اسید (RA) و فاکتور رشد فیبروبلاستی بازی، کلینیهای قلبی تپش دار و فاکتورهای عصبی با درصد تمایز عصبی بالای ۴۰ درصد در روز 2+4+5d شمارش شدند. (نمودار ۱ و ۲).

نتایج حاصل از شمارش اجسام شبه جنینی تمایز یافته در گروه ۱ و ۲ که تفاوت آنها به ترتیب در داشتن و نداشتن ACM بودنشان داد که تحت تأثیر ACM افزایشی در تمایز عصبی به وجود نمی آید، اما به طور معنی داری از تمایز قلبی کاسته می شود. از طرف دیگر تفاوت معنی داری بین تمایز عصبی در گروه ۳ که دارای ACM بود و گروه ۴ که فاقد ACM بود نیز

## آنالیز آماری

آنالیز آماری داده های مورفو لوژیکی کلینی های تمایز یافته (2+4+5d) با استفاده از آزمون آماری Mann-whitney و با نرم افزار spss (ویرایش ۱۳) ارزیابی شدند. نتایج به صورت [میانگین ± خطای استاندارد (SEM)] نشان داده شده اند.  $P < 0.05$  از نظر آماری معنی دار در نظر گرفته شد.

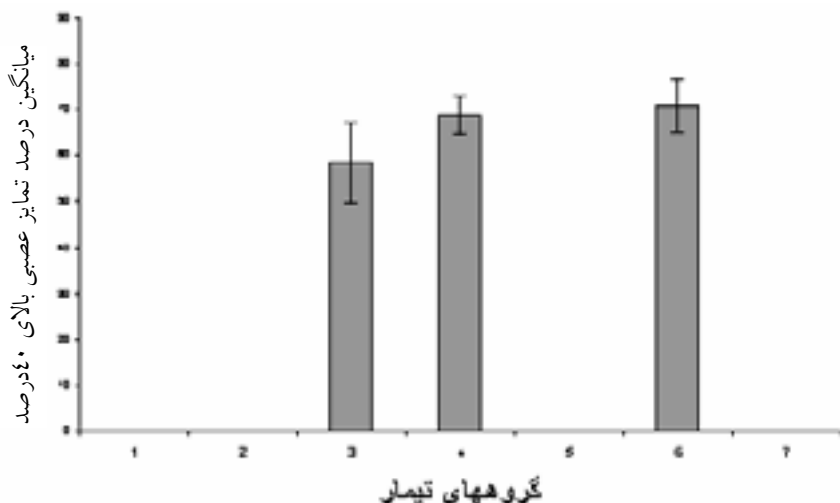
## یافته ها

### تمایز سلولهای عصبی از سلولهای بنیادی جنینی

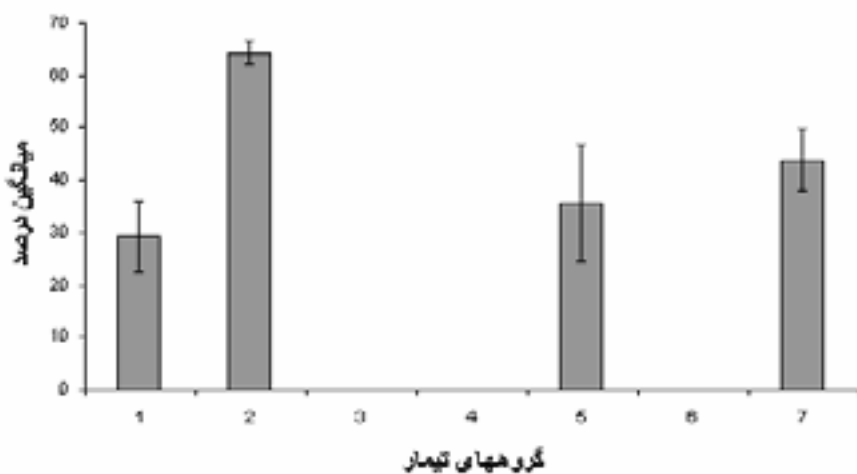
قبلاً مشخصات شاخص سلولهای بنیادی جنینی (رویان B1) همراه با مورفو لوژی شاخص (تیپیک) و قدرت تمایز بالای آنها در شرایط آزمایشگاهی نشان داده شده است [۲۱]. معمولاً دو روز بعد از کشت سلولهای بنیادی جنینی به صورت سوسپانسیون اجسام شبه جنینی شکل می گیرند (2d). به منظور تمایز سلولهای بنیادی جنینی، اجسام شبه جنینی به مدت ۴ روز

به طور معنی داری افزایش یافت؛ بطوری که با مقایسه گروه ۲ و گروه کنترل مشخص می شود که فاکتور رشد فیبروبلاستی ۲ به عنوان یک القاء کننده تمایز قلبی عمل می کند. از طرف دیگر

مشاهده نشد. همچنین با مقایسه تمایز عصبی در گروه ۶ با گروههای ۳ و ۴ مشخص شد که تفاوت معنی داری بین تمایز عصبی این گروهها وجود ندارد، بنابراین براساس این نتایج



نمودار ۱: مقایسه میانگین درصد تمایز عصبی بالای ۴ درصد



نمودار ۲: میانگین درصد تمایز قلبی

با مقایسه گروه ۱ و ۵ مشخص شد که درصد تمایز قلبی تحت تأثیر bFGF در حضور هپارین افزایش معنی داری نمی یابد و این موضوع نشان داد که هپارین باعث افزایش اثر القاء کننده bFGF روی جهت دهنده تمایز قلبی نمی شود.

#### تجلي نشانگرهای عصبی در سلولهای عصبی مشتق از سلولهای بنیادی جنینی

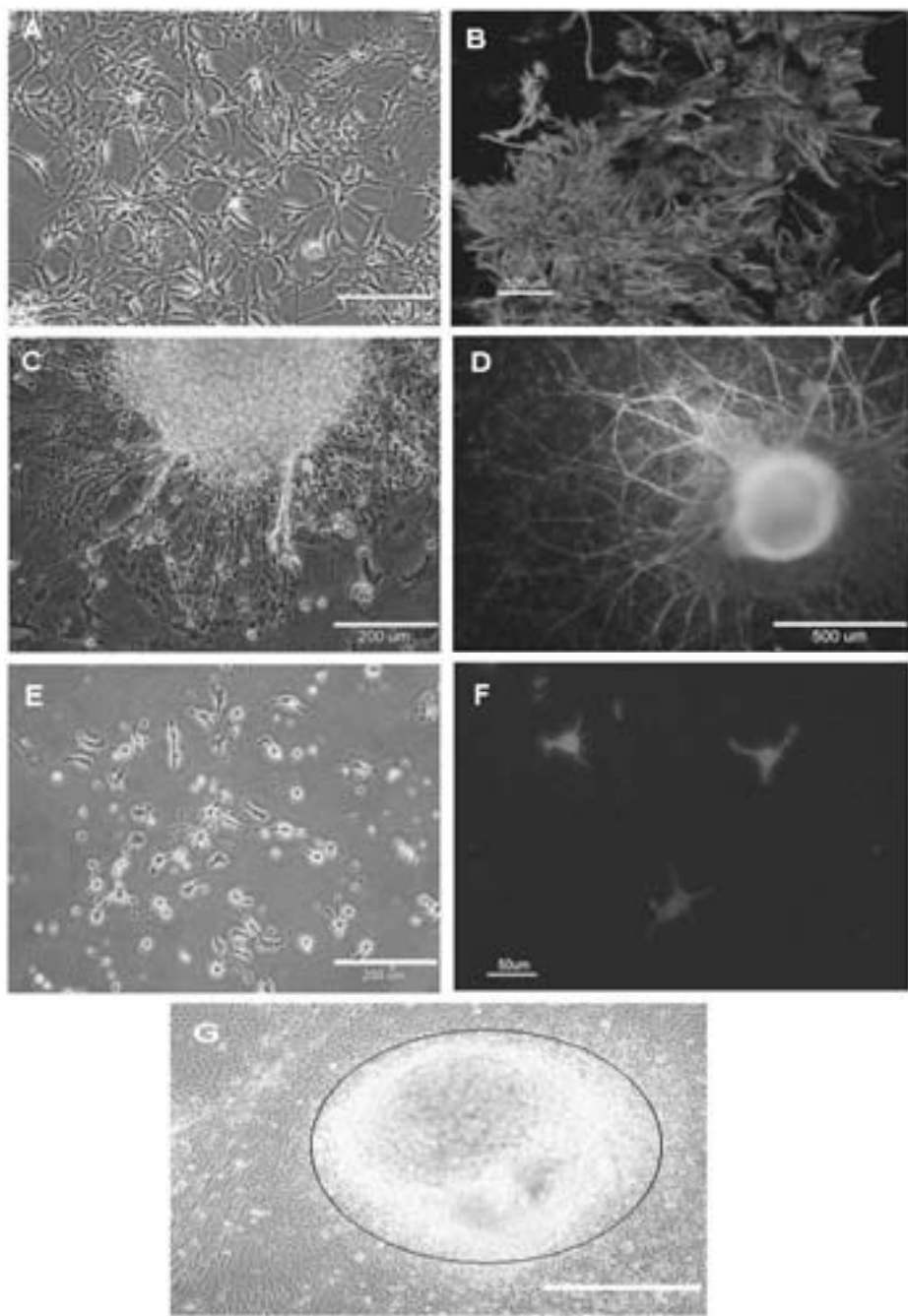
ایمونوپرتوژنیمی سلولها نشان داد که سلولهای عصبی حاصل

نقشی در تمایز عصبی ندارد و در حقیقت نقش اصلی در جهت دهنده تمایز عصبی بر عهده رتینوئیک اسید (RA) است. از طرف دیگر؛ درصد تمایز عصبی در گروههای ۳، ۴ و ۶ در مقایسه با گروه کنترل (گروه ۷) افزایش معنی داری نشان می داد و این موضوع نقش RA را به عنوان یک القاء کننده قوی تمایز عصبی تأیید می کند.

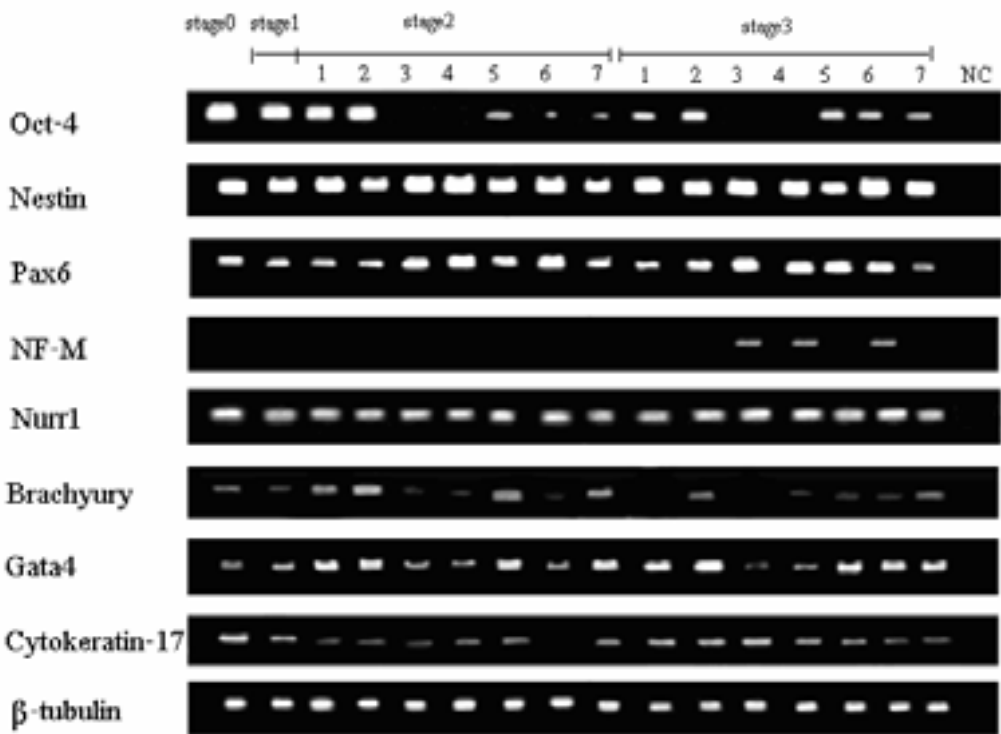
تحت تأثیر فاکتور رشد فیبروبلاستی ۲ درصد تمایز قلبی

2+4+5d و سلولهای عصبی نشان داد که در تمام گروهها نشانگرهای اکتودرمی و عصبی شامل NF-M، pax6، nestin، Nurr1، cytokeratin-17 و نیز نشانگرهای مزودرمی و قلبی شامل GATA4 و Brachyury تجلی می‌یابند (شکل ۲).

دارای زواید اکسونی و دندریتی مشخصه سلولهای عصبی هستند. در ضمن سلولهای عصبی نشانگرهای عصبی  $\beta$ -tubulin III و GFAP نشانگر سلولهای آستروسیتی را بیان کردند (شکل ۱). علاوه بر این بررسی RT-PCR اجسام شبه جنبی



شکل ۱ آستروسیت های مشتق از هیپوکمپ جنبی موش فازکتراست(A) و ایمونوستیتوشیمی با آنتی بادی علیه GFAP (B). سلولهای عصبی با درصد تمایز عصبی بالای ۰.۴ درصد: فازکتراست (C) و ایمونوستیتوشیمی با آنتی بادی علیه  $\beta$ - tubulin III (D). آستروسیت های تمایز یافته از سلولهای بنیادی جنبی: فازکتراست (E) و ایمونوستیتوشیمی با آنتی بادی علیه GFAP (F). سلولهای قلبی تمایز یافته از سلولهای ES (G)(دایره محدوده تپش دار را نشان می دهد).



شکل ۲: بررسی تجلی ژنهای خاص عصبی و قلبی با روش RT-PCR در سلولهای عصبی و قلبی مشتق از سلولهای بنیادی جنینی. NC نشان دهنده بدون cDNA است

اجسام شبه جنینی (2d): Stage 1

اجسام شبه جنینی پلیت شده (2+4+5d): Stage 3

سلولهای بنیادی جنینی (ES): Stage 0

اجسام شبه جنینی (2+4d): Stage 2

## بحث

محیطی هستند که ممکن است در رشد آنها تأثیر بگذارند. در میان این سیگنانلهای محیطی، سلولهای گلیال به ویژه آستروروسیتها به عنوان سلولهای پشتیبان سیستم عصبی مرکزی (CNS) با تولید فاکتورهای تروفیک محلول و مولکولهای وابسته به غشاءهای سلولی از اهمیت خاصی برخوردار هستند [۲۲]. آستروروسیتها برای پیشبرد بقاء و بلوغ نورونهای جوان و پیش‌سازهای عصبی به وسیله محققان زیادی نشان داده شده است [۲۳-۲۵]. همچنین در توافق با مطالعات *in vivo* چندین رده از شواهد *in vitro* نشان می‌دهند که فاکتورهای محلول آستروروسیت در مورفوژنزیس عصبی شرکت دارند. بنابراین یکی از روشهایی که در سالهای اخیر برای تمایز سلولهای ES به سلولهای عصبی مورد توجه قرار گرفته است به کارگیری سلولهای آستروروسیت

تولید سلولهای عصبی از سلولهای بنیادی جنینی دارای کاربردهای بالقوه‌ای در مطالعات زیست‌شناسی تکوینی، طب پیوند و توسعه داروسازی و ناهنجاری‌شناسی است. اما این کاربردها و سایر تواناییهای بالقوه سلولهای عصبی مشتق از سلولهای بنیادی جنینی بطور عمده به جنبه‌های عملی تولید شرایط کشت مطلوب این سلولها بستگی دارد. از جمله عواملی که در تمایز سلولهای بنیادی جنینی به سلولهای عصبی مؤثرند، فاکتور یا فاکتورهای القاء‌کننده تمایز عصبی، برهمکنش‌های سلولی، مدت زمان القاء و تمایز اجسام شبه جنینی و عوامل ناشناخته در سرم جنین گاو است.

سلولهای عصبی (نورونها) به عنوان اجزای عملکردی سیستم عصبی همواره در معرض طیف وسیعی از سیگنانلهای

بقاء قلب جنینی جوجه را در این مرحله متوقف می‌کند و القای سلولهای مزودرمی محتوی پیش سازهای میوسیتی قلبی FGF را مهار می‌کند [۲۹]. bFGF هم به عنوان عضوی از خانواده FGF در القای مزودرم، تنظیم تمایز و رشد سلولی، چسبندگی، bFGF مهاجرت، مرگ سلولی و غیره نقش مهمی ایفا می‌کند. bFGF به وسیله گیرنده‌های سطح سلولی خاص از خانواده تیروزین کینازی به نام FGFR1 عمل می‌کند که حضور این گیرنده برای تکوین قلبی ضروری است [۳۰]. هپارین به عنوان یک ماده فعال کننده گیرنده‌های FGF به فعال شدن رسپتورهای فاکتور رشد فیبروبلاستی بازی کمک می‌کند [۲۲]. بنابراین در حضور این ماده تأثیر فاکتور رشد فیبروبلاستی بازی روی سلولهای بنیادی جنینی افزایش می‌یابد. اما یافته‌های ما نشان داد که درصد تمایز قلبی تحت تأثیر bFGF در حضور هپارین افزایش معنی‌داری نمی‌یابد و مشخص شد که هپارین باعث افزایش اثر القاء‌کننده‌گی bFGF بر جهت‌دهی تمایز قلبی نمی‌شود.

مجموع نتایج حاصل نشان داد که تحت تأثیر رتینوئیک اسید درصد بالایی از سلولهای بنیادی جنینی به سلولهای عصبی تمایز پیدا می‌کنند و فاکتور رشد فیبروبلاستی بازی به عنوان یک القاء‌کننده تمایز قلبی شناخته شد و معلوم شد که فاکتورهای مشتق از سلولهای آستروروسیتی در محیط کشت آستروروسیتی (ACM) نقشی در تمایز عصبی ندارند.

اما به هر حال تکوین سیستم عصبی به وسیله فعالیت متوازن بین فاکتورهای داخلی بیان شده توسط برنامه ژنتیکی و فاکتورهای اپی‌ژنتیک مشخص شده به وسیله برهمکنشهای سلول-سلول که ممکن است سلولهای عصبی در سراسر مورفوژنیس سیستم عصبی انجام دهد هدایت می‌شود. بیشترین این برهمکنشها میان نورون- گلیا است. چندین فاکتور محلول ترشح شده به وسیله سلولهای گلیال یا سلولهای عصبی در اثرهای متقابل که این سلولها روی یکدیگر اعمال می‌کنند شرکت دارند. بنابراین معماری عملکردی مغز بستگی به شرکت نزدیک و زیاد نورون- گلیا دارد. بنابراین با توجه به این اطلاعات فاکتورهای محلول آستروروسیتی یک نقش مهمی در چندین مرحله مورفوژنیس عصبی از حوادث اولیه تکثیر

است. اگر چه مشاهدات تأیید می‌کنند که سلولهای آستروروگلیال دارای پتانسیل آموزش و هدایت سلولهای بنیادی غیرمعهد برای سازگاری با یک سرنوشت عصبی هستند اما برخلاف یافته‌های Nakayama (Nakayama) و همکارانش [۱۹] که نشان دادند تحت تأثیر فاکتورهای مشتق از آستروروسیت‌ها سلولهای ES به سلولهای عصبی و نورونها تمایز پیدا می‌کنند، یافته‌های ما نشان داد که محیط رویی سلولهای آستروروسیتی حاوی فاکتورهای مترشحه از آستروروسیت‌ها نقشی در تمایز عصبی سلولهای ES ندارد و فقط تمایز قلبی را کاهش می‌دهند.

نقش رتینوئیک اسید (RA) در جریان تکوین جنین و بهخصوص در فرایندهای تمایز عصبی مدتهاست مشخص شده است و تمایز دودمانهای عصبی از سلولهای پرتوان در پاسخ به RA مدتهاست که ثابت شده است و در این ارتباط گزارش‌های متعددی در زمینه تمایز نورونها از سلولهای بنیادی جنینی به صورت اجسام شبه جنینی (EBs) تحت تأثیر غلظت  $^{10}$  و  $^{20}$  اسید رتینوئیک وجود دارد [۱، ۶ و ۲۶] مطابق با این گزارشها یافته‌های ما نیز نقش رتینوئیک اسید را به عنوان یک القاء‌کننده قوی تمایز عصبی تأیید می‌کنند. و آنالیز آماری درصد تمایز اجسام شبه جنینی در گروههایی که تحت تیمار قرار گرفته بودند نشان می‌دهد که در این گروهها بیشتر از ۵۰ درصد از سلولهای بنیادی جنینی با تمایز عصبی بالای ۴۰ درصد به سلولهای عصبی تمایز پیدا کرده‌اند.

در این مطالعه مشخص شد که فاکتور رشد فیبروبلاستی بازی به عنوان یک فاکتور القاء‌کننده قلب‌زاوی عمل می‌کند به طوری که تحت تأثیر این فاکتور میزان تمایز قلبی به مقدار زیادی افزایش می‌یابد. از جمله سیگنانالهایی که فعالیت می‌توزی و بقای میوسیت‌های جنینی را در مراحل اولیه قلب‌زاوی تنظیم می‌کنند سیگنانالهای FGF است. به طوری که مهار سیگنانالهای FGF از القای سلولهای مزودرمی و محتوی پیش سازهای قلبی ممانعت می‌کند [۲۷ و ۲۸]. از طرف دیگر تأثیر FGF روی قلب‌زاوی جوجه هم مطالعه شده است به طوری که نتایج نشان می‌دهد سیگنانالهای FGF رشد میوسیت‌های قلبی را در مرحله توبولار تنظیم می‌کنند و تخریب گیرنده‌های FGF، تکثیر و

## تقدیر و تشکر

بدینویسیله از آقایان محمد پاکزاد، محمد معصومی و خانم‌ها مریم حاتمی و سپیده ملامحمدی و کلیه کسانی که در پژوهشکده رویان در انجام مراحل مختلف این پژوهش همکاری نمودند تشکر و قدردانی می‌نمایم.

پیش‌ساز عصبی تا دوره‌های بعدی تمایز عصبی و تثبیت جریان عصبی بازی می‌کنند. به هر حال بررسی نقش سلولهای آستروسیتی در جهت‌دهی تمایز سلولهای بنیادی جنینی به سلولهای عصبی در گرو تحقیقات بیشتر در جهت شناخت سیگنانالها و مولکولهای آزاد شده از سلولهای آستروسیتی در محیط کشت و هم کشتی سلولهای بنیادی جنینی با سلولهای آستروسیتی است.

## References

- Bain G, Kitchens D, Yao M, Huettner JE, Gottlieb DI.** Embryonic stem cells express neuronal properties invitro. *Dev Biol* 1995; 168 : 342-57.
- Okabe S, Forsberg- Nilsson K, Spiro AC, Segal M, Mckay RD.** Development of neuronal precursor cells and functional postmitotic neurons from embryonic stem cells invitro. *Mech Dev* 1996 ; 59 : 89-102.
- Reubinoff BE, Pera MF, Fong CY, Trounson A, Bongso A.** Neural progenitors from human embryonic stem cells. *Nat Brotechnol* 2000; 18 : 399-404.
- Guan K, chang H, Rolletschek A, Wobus AM.** Embryonic stem cell derived neurogenesis. Retinoic acid induction and lineage selection of neuronal cells. *Cell Tissue Res* 2001 ; 305 : 171-6.
- Beddington Rs, smith JC.** Control of vertebrate gastrulation: inducing signals and responding genes. *Curr opin Genet Dev* 1993; 3: 655-61.
- Fraichard A, chassande O, Bilbaut G.** Dehayc, savatierp, samarut: invitro different of embryonic stem cells into glial cells and functional neurons. *J Cell Science* 1995; 108 : 3181-8.
- Rathjen J, Haines BP, Hodson KM, Nesci A., Dunns, Rothjen PD:** Directed differentiation of pluripotent cells to neural lineages: Homogeneous formation and differentiation of a neurectoderm formation and different of a neurectoderm population. *Development* 2002; 129: 2649-61.
- Doetsch F.** A niche for adult neural stem cells. *Curr Opin Genet Dev* 2003 ;13 : 543-50.
- Ridet JL, Malhotra SK, Privat A, Gage FH.** Reactive astrocytes: cellular and molecular cues to biological function. *Trends Neurosci* 1997; 20, 570-7.
- Engele J.** Changing responsiveness of developing modbrain dopaminergic neurons for extracellular growth factors. *J Neurosci Res* 1998; 15: 508-16.
- Song HJ, Sterens CF, Gage FH.** Neural stem cells from adult hippocampus develop essential properties of functional CNS neurons. *Nat Neurosci* 2002; 5 : 438-45.
- Noble M, Fok-seang J, Cohen J.** Glia are a unique substrate for the invitro growth of central nervous system neurons. *J Neurosci* 1984; 4: 1892-903.
- Norris CR, Kalil K.** Guidance of callosal axons by radial glia in the developing cerebral

- cortex. J Neurosci 1991; 11: 3481-92.
14. **Smith GM, Rutishauser Y, Silver J, Miller RH.** Maturation of astrocytes invitro alters the extent and molecular basis of neurite outgrowth. Dev Biol 1990; 138: 377-90.
  15. **Aoyagi A, Nishikawa k, saito H, Abe K.** characterization of basic fibroblast growth factor- mediated acceleration of axonal branching in cultured rat hippocampal neurons. Brain Res 1994; 661: 117-26.
  16. **Lowenstein OH, Arsenault K.** Dentae granule cell layer collagen explantcultures: spontaneous axonal growth and induction by brain- derived neurotrophic factor or basic fibroblast growth factor. Neuroscience 1996; 74: 1197-208.
  17. **Mueller BK.** Growth cone guidance: first steps towards a deeper understanding. Ann Rev Neurosci 1999; 22: 351-88.
  18. **Song H, stevens CF, Gage FH.** Astroglia induce neurogenesis from adult neural stem cells. Nature 2002; 417: 39-44.
  19. **Nakayama T, Momoki-Soga T, Inoue N.** Astrocyte- derived factors instruct differentiation of embryonic stem cells into neurons. Neurosci Res 2003; 46: 241-9.
  20. **Baharvand H, Matthaei KI.** Culture condition difference for establishment of new embryonic stem cell lines from the C57BL/6 and BALB/C mouse strains. Invitro cell Dev Biol Anim 2004; 40: 76-81.
  21. **Baharvand H, Matthaei KI.** The ultrastructure of mouse embryonic stem cells RBM online 2003; 7: 330-5.
  22. **Roux, peter D Le, Esquenazi, Susana.** Astrocytes mediate cerebral cortical neuronal axon and dendrite growth, in part, by release of fibroblast growth factor. Neurolog Res, Jan 2002 Jan; 24(1): 81-92.
  23. **Banker GA.** Trophic interactions between astroglial cells and hippocampal neurons in culture. Science 1980; 209: 809-10.
  24. **Temple S, Davis AA.** Isolated rat cortical progenitor cells are maintained in division in vitro by membrane- associated factors. Development 1994; 120: 999-1008.
  25. **Nedergaard M.** Direct signaling from astrocytes to neurons in cultures of mammalian brain cells. Science 1994; 25: 263: 1768-71.
  26. **Strubing C, Ahnert- Hilger G, Shan J, Wiedenmann B, Heschelery, Wobus AM.** Differentiation of pluripotent embryonic stem cells into the neural lineage in vitro gives rise to matare inhibitory and excitatory neurons, Mech Dev 1995; 53: 275-87.
  27. **Sachindis A, Fleischman BK, Kolossov E, Wartenberg M, Sauer H, Heschelery J.** Cardiac specific differentiation of mouse embryonic slem cells. Cardiovasc Res 2003; 58: 278-91.
  28. **Schuldiner M, Yanuka O, Itskovitz- Eldor J, melton D, Benvenisty N.** Effects of eight growth factors on the differentiation of cells derived from human embryonic stem cells. PNAS 2000; 97: 11307-12.
  29. **Mima T, Ueno H, Fischman D, Mikawa T, Williams L.** Fibroblast growth factor receptoris required for invivo cardiac myocyte proliferation at early embryonic stages of heart development. Proc proc Natl Acad Sci USA 1995 jan 17; 92(2): 467-71.

30. **Detillieux K, Sheikh F, Kardami E, Cattini P.** Biological activities of fibroblast growth factor-2 in the adult myocardium. *Cardiovasc Res* 2003; 57: 8-19.
31. **Pisano MM, Mukhopadhyay P, Greene RM.** Molecular Fingerprinting of TGF $\beta$ -treated embryonic maxillary mesenchymal cells. *Orthod craniofacial Res* 6, 2003; 194-209.
32. **Wobus AM, Guan K, Yang HT, Boheler KR.** Embryonic stem cells as a model to study cardiac, skeletal muscle, and vascular smooth muscle cell differentiation. *Methods Mol Biol* 2002; 185: 127-56.